

УДК 535.324+535.341] : 539.238

ОПТИЧЕСКИЕ СВОЙСТВА ТОНКИХ ПЛЕНОК ВИСМУТА

*А. И. Усокин, И. Н. Шкляревский, А. С. Герчиков
и Ю. С. Верлинский*

Рассчитаны эффективные показатели преломления n и поглощения k двух серий пленок висмута с резко отличающейся структурой. У островковых пленок k в 10–20 раз меньше, чем k массивного слоя, в то время как n в одном и другом случае по порядку величины одинаково. При слиянии островков n и k приближаются к таковым массивного слоя. Найдена зависимость факторов заполнения от толщины пленок.

Введение

В предыдущей работе [1] было показано, что в отличие от благородных металлов, несмотря на гранулярную структуру, тонкие пленки сурьмы в видимой области спектра не обнаруживают «аномальных» полос поглощения. Механизм взаимодействия света с небольшими островками тонких пленок сурьмы и подобных ей металлов далеко не ясен. Теоретическое же рассмотрение вопроса вряд ли может быть плодотворным при почти полном отсутствии соответствующих экспериментальных данных.

В настоящей работе приводятся результаты оптических и структурных исследований тонких пленок висмута. Оптические исследования пленок висмута до сих пор практически не проводились; в [2] авторы ограничились измерением коэффициентов пропускания. Зависимость структуры пленок от условий конденсации висмута довольно полно исследовалась в [3, 4]. Согласно [4], пленки висмута в зависимости от условий приготовления могут менять окраску от желтой до темно-синей, т. е. изменение структуры пленок ведет к резкому изменению оптических свойств. В связи с этим оптические и структурные исследования желательно проводить на одновременно полученных образцах. Заметим, что пленки висмута широко применяются в тонкопленочных приемниках излучения, в связи с чем изучение их свойств представляет практический интерес.

Приготовление образцов

Были изготовлены две серии пленок висмута. Первая из них осаждалась на подложку комнатной температуры и сразу же при том же вакууме в течение часа отжигалась при температуре 120°C. Вторая серия осаждалась на нагретую до 120°C стеклянную подложку. Эти режимы приготовления позволили получить две серии пленок с заметно отличающейся окраской: серо-синяя с переходом при малых толщинах в желтоватую у первой серии и интенсивно-желтая у второй серии пленок.

Для максимальной стабилизации условий приготовления серии пленок различной толщины нами использовалась помещенная непосредственно перед подложкой вращающаяся маска, представляющая собой диск с секторными вырезами. Она приводилась во вращение пружиной. Секторные вырезы рассчитывались так, что на стеклянной подложке размером

7×1.5 см осаждалась серия из пяти пленок, «массовые» толщины которых (при неизменном коэффициенте аккомодации) относились как $3 : 4 : 6 : 8 : 10$. Значительное расстояние (20 см) между испарителем — алундовым тиглем — и подложкой обеспечивало достаточную однородность образца. Стеклянные подложки предварительно очищались. Испарение велось в вакууме $\sim 10^{-5}$ мм рт. ст.; чистота исходного висмута 99.999%.

Осажденные на нагретую подложку пленки висмута отделялись от последней обычным способом. Пленки висмута, приготовленные при комнатной температуре подложки, отделить от последней не удается. В этом случае получения электронно-микроскопических снимков висмут конденсировался на прозрачные для электронного пучка угольные пленки [5], расположенные рядом со «ступеньками» образца.

Оптические и структурные исследования

Измерение коэффициентов отражения R со стороны воздуха, R' со стороны стеклянной подложки и коэффициентов пропускания T производилось на спектрофотометре СФ-5 со специальной приставкой в спектральной области $400 \div 1000$ нм. Методика таких измерений подробно описана в [6]. После нахождения R , R' и T интерферометрическим методом [7] измерялись толщины t пленок.

Как и в случае сурьмы [1], в исследованной спектральной области с ростом толщины пленок коэффициенты пропускания T монотонно падают, а коэффициенты отражения R возрастают. Зависимости $R'(t)$ первой серии пленок имеют глубокий минимум в районе толщин $8.5 \div 8.8$ нм. Судя по ходу кривых $R'(t)$ в диапазоне толщин $11 \div 35$ нм, вторая серия пленок глубокого минимума не обнаруживает.

Абсолютные значения и ход кривых $R(t)$, $R'(t)$ и $T(t)$ в различных участках спектра у пленок первой и второй серий различны и, естественно, соответствуют наблюдаемой окраске. Мы не приводим значений R , R' и T ; при необходимости они могут быть рассчитаны по оптическим постоянным n и k (см. таблицы).

Рис. 1 иллюстрирует наиболее типичные электронно-микроскопические снимки исследованных пленок, увеличение 120 000. Явно выраженные гранулы пленки толщиной 6.2 нм первой серии уже при толщине 8.7 нм сливаются и образуют мозаичную структуру. При толщине 17.5 нм пленка висмута практически сплошная. У пленок второй серии вплоть до толщин 35 нм сохраняется островковая структура. На снимках хорошо видна огранка многих островков.

Расчет оптических постоянных

Эффективные показатели преломления n и поглощения k тонких пленок висмута находились описанным в [1, 8] способом. Приближенные формулы [9–11] позволяют рассчитать мнимую $\epsilon_2 = 2nk$ и действительную

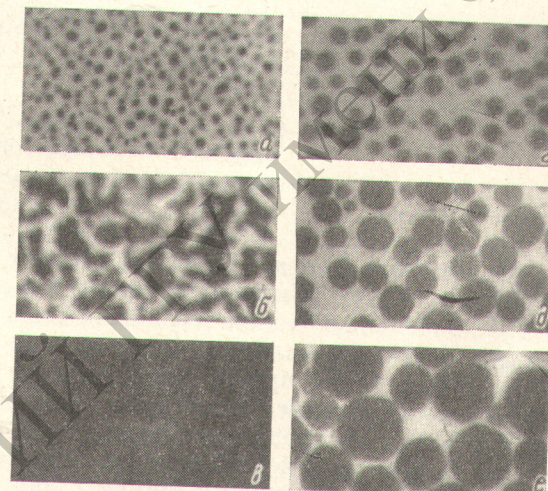


Рис. 1. Электронно-микроскопические снимки пленок висмута.

a, b, c — пленки первой серии толщиной 6.2, 8.7 и 17.5 нм,
 d, e, f — пленки второй серии толщиной 11, 18 и 35 нм.

$\epsilon_1 = n^2 - k^2$ части эффективной диэлектрической постоянной пленки по известным значениям R , R' , T и t . Однако выражение для ϵ_1 дает две величины: ϵ_1^+ и ϵ_1^- , связанное с двумя знаками перед радикалом. Как уже указывалось [1,8], без дополнительных соображений нельзя отдать предпочтение какой-либо из них. Для устранения этой неоднозначности по двум парам величин ϵ_1^+ , ϵ_2 и ϵ_1^- , ϵ_2 рассчитывались на две пары оптических

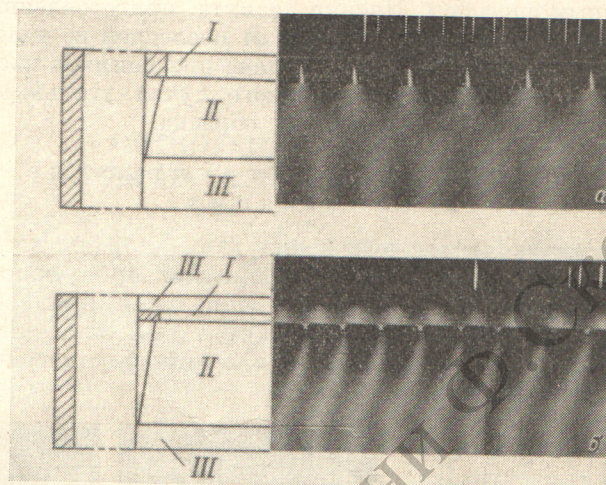


Рис. 2. Слева — схема образцов, справа — соответствующие им интерферограммы.

а — клинообразная пленка первой серии, б — второй серии.

постоянных n^+ , k^+ и n^- , k^- исследованных пленок. Далее по приближенной формуле [12,1] были рассчитаны две зависимости скачков фаз $\delta^+(t)$ и $\delta^-(t)$, возникающих при отражении света со стороны подложки, и сравняны с экспериментальными величинами.

Для того чтобы проследить изменение скачка фазы от толщины, мы воспользовались описанным ранее методом [13,1]. На одну сторону плоскопараллельного лепестка слюды, как показано на рис. 2, наносился частично прозрачный слой серебра, на вторую — клинообразная пленка висмута (II), граничащая с тонким слоем серебра (I) и чистой поверхностью слюды (III). Такой образец помещался перед щелью спектрографа ДФС-4 по схеме Толанского и фотографировалась интерференционная

Таблица 1

λ , нм	t, нм													
	6.2		7.2		8.7		9.8		10.6		17.5		300	
	n	k	n	k	n	k	n	k	n	k	n	k	n	k
400	2.09	0.33	0.91	1.15	1.50	1.36	1.61	1.67	1.66	1.92	1.43	2.10	1.10	2.78
450	1.86	0.34	1.64	1.03	1.59	1.46	1.85	1.70	1.82	2.13	1.50	2.32	1.46	3.26
500	1.90	0.37	1.99	0.68	1.68	1.55	1.90	1.85	1.86	2.30	1.59	2.58	1.53	3.34
550	2.37	0.36	2.18	0.70	1.86	1.58	1.97	2.06	1.97	2.57	1.67	2.90	1.58	3.55
600	1.94	0.35	2.15	0.76	2.05	1.61	1.93	2.15	2.14	2.72	1.82	3.15	1.82	3.92
650	1.96	0.39	2.02	0.84	2.23	1.62	2.51	2.17	2.42	2.93	1.98	3.48	1.97	4.41
700	1.97	0.30	2.35	0.66	2.43	1.59	2.63	2.30	2.48	3.17	2.28	3.69	2.52	4.99
750	2.03	0.30	2.40	0.67	2.45	1.70	2.73	2.42	3.20	3.02	2.68	3.81	2.68	5.11
800	2.13	0.28	2.35	0.63	2.52	1.70	2.84	2.54	3.34	3.09	3.04	3.87	3.05	5.36
850	2.03	0.23	2.59	0.55	2.68	1.60	2.94	2.64	3.30	3.38	3.41	3.90	3.18	5.44
900	2.18	0.20	2.28	0.58	2.89	1.48	3.29	2.54	3.58	3.34	3.63	4.00	3.56	5.71
950	2.44	0.11	2.52	0.50	3.04	1.41	3.47	2.40	4.13	3.04	3.84	4.07	3.65	5.70
1000	2.48	0.18	2.44	0.51	3.24	1.37	3.56	2.50	4.00	3.31	3.86	4.28	4.07	5.92

картина в проходящем свете в диапазоне длин волн $400 \div 700$ нм. Поскольку вид интерференционных линий во всей области спектра качественно одинаков, мы приводим интерферограммы для небольших участков спектра. Искривление линий равного хроматического порядка соответствует изменению скачков фаз от $\delta < 180^\circ$ у основания клина до $\delta = 360^\circ$ при $t \rightarrow 0$. Как и в [13], предполагается скачкообразное изменение δ на 2π при появлении пленки.

На рис. 3 приведены рассчитанные зависимости $\delta^+(t)$ и $\delta^-(t)$ для первой ($\lambda=700$ нм) и второй ($\lambda=500$ нм) серий пленок. Сплошные линии проведены в соответствии с экспериментально найденной зависимостью $\delta(t)$ (рис. 2).

Таким образом, для тонких пленок первой серии физический смысл имеют оптические постоянные n^+, k^+ , а для более толстых — n^-, k^- . Переход от одной пары к другой совершается при толщинах, для которых $\epsilon_1^+ = \epsilon_1^-$, т. е. когда подкоренное выражение в формуле для ϵ_1 обращается в нуль [10, 11, 1]. В исследованном случае эти толщины тем больше, чем больше длина волны. Так, для пленок толщиной 7.2, 9.8 и 10.6 нм упомянутый переход происходит при длинах волн, соответственно равных 450, 700 и 900 нм. Для пленок второй серии, как и для сурьмы [1], справедливы величины n^+, k^+ в исследованной области толщин.

Найденные нами оптические постоянные пленок висмута первой серии приведены в табл. 1. Сюда же включены n и k пленки с $t=17.5$ нм и непрозрачного слоя висмута ($t \sim 300$ нм), осажденных в таких же условиях, как и пленки первой серии. У сплошной пленки с $t=17.5$ нм (рис. 1) показатели преломления практически не отличаются от аналогичных величин непрозрачного слоя, показатели же поглощения примерно на 30% ниже.

В табл. 2 приведены n и k пленок висмута второй серии. Оптические постоянные более толстых пленок этой серии рассчитать не удалось из-за непригодности приближенных формул [9].

Таким образом, по мере слияния островков у пленок первой серии их оптические постоянные приближаются к оптическим постоянным массивных слоев висмута. У пленок островковой структуры второй серии оптические постоянные практически не зависят от толщины, а следовательно, и размеров гранул в диапазоне толщин $11 \div 18$ нм. Любопытно отметить, что оптические постоянные островковых пленок с $t=6 \div 7$ нм

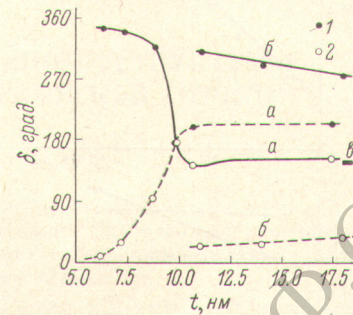


Рис. 3. Рассчитанные зависимости $\delta(t)$ пленок висмута.
1 — δ^+ , 2 — δ^- ; а — пленки первой серии, б — вторая серия, в — массивный слой висмута.

Таблица 2

λ , нм	t, нм					
	11		14		18	
	n	k	n	k	n	k
400	1.94	0.38	1.87	0.37	1.87	0.42
450	1.96	0.30	1.81	0.29	1.85	0.32
500	1.82	0.27	1.80	0.25	1.83	0.28
550	1.81	0.24	1.78	0.22	1.85	0.25
600	1.83	0.21	1.78	0.19	1.85	0.20
650	1.87	0.18	1.77	0.16	1.88	0.16
700	1.83	0.15	1.69	0.14	1.81	0.16
750	1.62	0.16	1.54	0.14	1.68	0.14
800	1.28	0.19	1.28	0.15	1.61	0.14
850	1.28	0.17	1.28	0.14	1.61	0.12
900	1.28	0.16	1.28	0.13	1.45	0.13
950	1.28	0.15	1.28	0.12	1.51	0.12
1000	1.28	0.13	1.28	0.10	1.52	0.10

первой серии по порядку величины такие же, как у пленок второй серии в $2 \div 3$ раза более толстых. Если эффективный показатель поглощения k островковых пленок на порядок меньше k массивного слоя висмута, то порядок величины q сохраняется.

Таким образом, переход от сплошных к гранулярным пленкам висмута приводит к иным оптическим свойствам, чем в аналогичной ситуации

у благородных металлов, и требует другой теоретической интерпретации.

Определение факторов заполнения

Применение врачающейся маски при изготовлении серии пленок позволяет удобно рассчитать их факторы заполнения q . Пусть заданные профилем маски «массовые» толщины «ступенек» относятся как $t_{m1} : t_{m2} : t_{m3} : \dots$, а измеренные интерферометрическим методом толщины — как $t_1 : t_2 : t_3 : \dots$. Тогда $t_{mi} = qt_i$. Если известно q для i -й пленки, факторы заполнения q остальных пленок легко рассчитываются. При этом предполагается, что коэффициент аккомодации для всех пленок одинаков. При достаточной плотности молекулярного пучка и невысокой температуре подложки это предположение оправдывается.

На рис. 4 сопоставляются найденные таким образом зависимости $q(t)$ с аналогичными зависимостями, полученными по электронно-микроскопическим снимкам. Рассчитанные величины факторов заполнения привязывались к измеренным в точке с $q \approx 0.5$. Расхождение рассчитанных и измеренных зависимостей $q(t)$ для пленок второй серии, по-видимому, обусловлено тем, что при более высокой температуре подложки коэффициент аккомодации пленок висмута намного сильнее зависит от толщины [14].

Литература

- [1] И. Н. Шкляревский, А. И. Усоскин. Опт. и спектр., 31, 623, 1971.
- [2] G. Condas. Rev. scient. instr., 36, 1252, 1965.
- [3] Л. С. Палатник, Ю. Ф. Комник. ДАН СССР, 134, 337, 1960.
- [4] Л. С. Палатник, Ю. Ф. Комник. ДАН СССР, 124, 808, 1959.
- [5] K. M. Towe. Rev. scient. instr., 36, 1247, 1965.
- [6] Л. А. Агеев, И. Н. Шкляревский. Ж. прикл. спектр., 16, 376, 1972.
- [7] И. Н. Шкляревский. Опт. и спектр., 5, 617, 1958.
- [8] И. Н. Шкляревский, Т. И. Корнеева, Т. Г. Гребенник. Опт. и спектр., 31, 414, 1971.
- [9] H. Wolter. Zs. Physik, 105, 269, 1937.
- [10] H. Schopper. Zs. Physik, 130, 565, 1951.
- [11] И. Н. Шкляревский, О. И. Шкляревский. Опт. и спектр., 27, 654, 1969.
- [12] И. Н. Шкляревский, О. И. Шкляревский, А. И. Усоскин. Опт. и спектр., 29, 1144, 1970.
- [13] И. Н. Шкляревский, Т. И. Корнеева, Н. А. Носуленко, А. И. Рыбалька. Опт. и спектр., 29, 190, 1970.
- [14] Л. С. Палатник, Ю. Ф. Комник. ДАН СССР, 126, 74, 1959.

Поступило в Редакцию 30 ноября 1971 г.

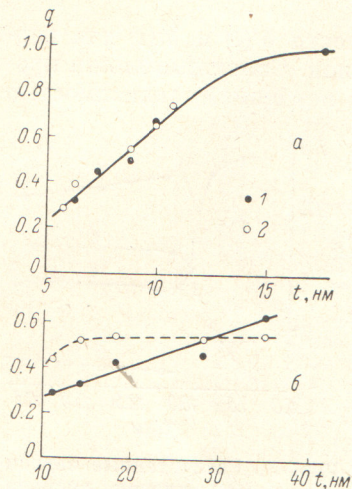


Рис. 4. Измеренные (1) и расчитанные (2) зависимости $q(t)$ пленок висмута.

а — пленки первой, б — второй серий.